# АСТРОФИЗИКА

**TOM 34** 

ИЮНЬ, 1991

выпуск з

УДК: 524.45:520:84

# ВЗАИМОДЕЙСТВУЮЩАЯ СИСТЕМА ГАЛАКТИК МАРКАРЯН 907

А. Р. ПЕТРОСЯН, А. Н. БУРЕНКОВ, К. А. СААКЯН

Поступила 10 декабря 1990

Принята к лечати 15 февраля 1991

Приведены результаты детального спектрофотометрического и морфологического исследований галактики Маркарян 907. Наблюдательный материал получен на 6-м телескопе САО АН СССР и 2.6-м телескопе Бюраканской обсерватории. По относительным интенсициостям эмиссионных линий определены содержание тяжелых залмолтся, массы и коэффициенты скважности ионизованного газа, число звезд типа О9 и темп звездообразования в шести сгущениях галактики. Показаво, что Маскарян 907 является взаимодействующей двойной системой. Южный компонент пары—SBb галактика с мощным ядром: северный компонент—состоящая из трек отдельных сгущений карликовая голубая галактика. В спиральной галактике отождествлены две НП-области.

1. Введение. Маркарян 907 (NGC 7250, UGC 11980, МКГ 07-45-024) не сейфертовская галактика со сложной морфологической структурой. Маркарян и др. [1] избыточное УФ-излучение наблюдали только из яркой южной части объекта. Ими отмечалось также присутствие на северо-западе от объекта конденсированного спутника  $16^m$ . Сотласно спектральным наблюдениям Маркарян 907-двойная взаимодействующая система [2]. Галактоцентрическая лучевая скорость её южного компонента  $1440 \text{ кm} \cdot \text{c}^{-1}$ , северного— $1460 \text{ кm} \cdot \text{c}^{-1}$ . Абсолютная звездная величина системы— $19^m 4 (H_0 = 75 \text{ кm} \cdot \text{c}^{-1} \text{ Млк}^{-1})$ . Бальзано [3] не наблюдал данный объект как кандидат в галактику со вспышкой звездообразования, из-за его диффузного вида. Согласно Санамяну и др. [4] на 31.0 см поток непрерывного радиоизлучения от объекта меньше 330 мЯн, а на 8.2 см равен  $36\pm18\text{мЯн}$ . Маркарян 907 является источником далекого инфракрасного (FIR) излучения [5].

В настоящей работе приведены результаты детального морфологического и спектрофотометрического исследований галактики.

2. Наблюдательный материал и его обработка. Крупномасштабный прямой снимок галактики Марк 907 получен на 2.6-м телескопе БАО Республики Армения 7. 10. 1977 г. на голубой пластинке Zu-2 без фильтра. с экспозицией 15<sup>м</sup>. При наблюдениях изображение звезд ~ 2". Снимок галактики воспроизведен на рис. 1а. Для более детального исследования морфолотической структуры Марк 907 ее прямой снимок просканирован на автомате ческом микроденситометре АМД-1 САО АН СССР с диафрагмой 10 × 10 мкм, с шагом 10 мкм. Полученное двухмерное изображение после быстрого преобразования Фурье фильтровано с использованием рассчитанных оптималыных фильтров низких частот и фильтра Винера. Результаты обработки в виде картины изоденс воспроизведены на рис. 1b, с. С целью фотометрии различных деталей в галактике ее изображение обработано также на комплексе PDS 1010A - CM4 с попротяженных объектов, действующей в мощью пропраммы обработки рамках вычислительной системы АДА Бюраканской обсерватории. Ошибка фотометрии в системе В не превышает 0 25.

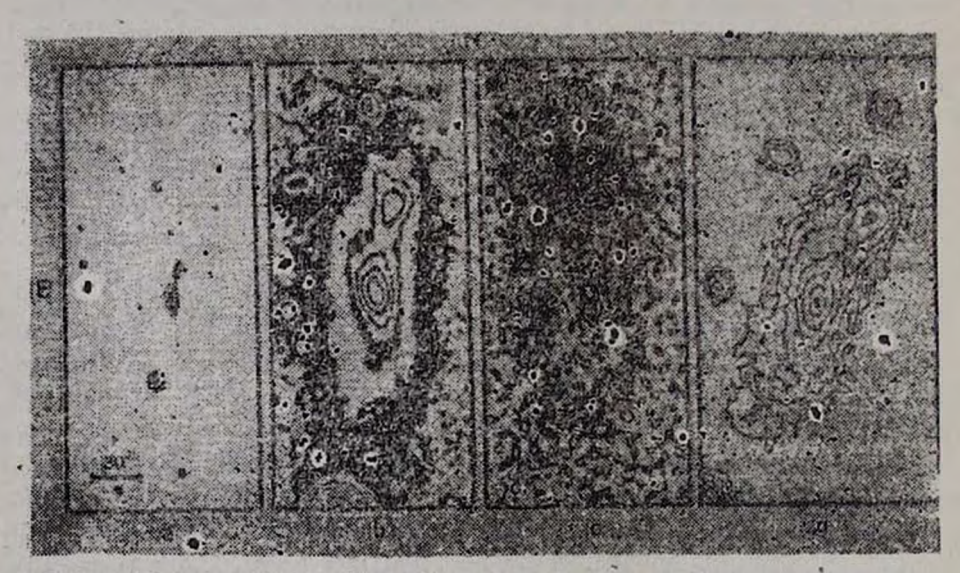


Рис. 1. Галактика Марк 907: а) Прямой свимок. b) Результат обработки прямого селика с фильтром низких частет. c) То же с фильтром Винера. d) Картина изофот галактики. Самая слабая изофота соответствует 24 м с кв. с. До 21 м 5 с кв. с. шаг построения изофот равен 0 м 5. Центральная изофота соответствует 21 м 2 с кв. с.

На рис. 1d воспроизведена изофотометрическая карта галактики, тостроенная в единяцах звездных желичин с кв. с. На рис. 1d самая слабая изофота соответствует 24<sup>м</sup> 0 с кв. с. До 21 <sup>м</sup>5 с кв. с. шаг построения изофот равен 0.м5. Самая внутренняя центральная изофота имеет величину 21<sup>м</sup> 2 с кв. с.

Табляца 1. ДАННЫЕ О СПЕКТРАЛЬНЫХ НАБЛЮДЕНИЯХ МАРК 907 НА БТА

№ спектра	Дата наблюдений	Экспозиция (мин)	Споктральный двапавон (A)			
1	22.10.1981	10	3600—5100	3"-4"		
2	4 4 4 4	10	4600 - 6100			
3	11	10	5700—7200	- 437 2		
4	23.10.1981	20	5700—7200	1" 5-2"		
5		20	3600-5100			
6	14.08.1983	10	3600—5100	1"-1" 5		
7		2	3600-5100			
8		10	46006100			
9	**	2	4600—6100			
10	**	18	5 <b>700</b> – <b>7200</b>			
11	11	2.7	5700—7200			

Спектры Марк 907 получены в первичном фокусе 6-м телескопа САО АН СССР со спектрографом СП-160 с двухжамерным ЭОП УМК-91В. Галактика наблюдалась при одном положении щели спектрографа, проходящей вдоль вытянутости объекта. При наблюдениях дисперсия выбиралась как 65 А·мм<sup>-1</sup>, масштаб перпендикулярно дисперсии ~ 17"·мм<sup>-1</sup>.

Данные о спектральных наблюдениях приведены в табл. 1. В качестве звезд сравнения служили ВД 25°3941 и 92 Фейджа [6]. Обработка спектров производилась на микроденситометре PDS 1010A Бюраканской обсерватории.

3. Результаты. Из-за своей сложной структуры Марк 907 в каталогах UGC, МКГ, а также в пересмотренном каталоге NGC не имеет четкой морфологической классификации. По нашим данным в общей структуре Марк 907 выделяются два ярких образования (рис. 1). Южное, более яркое расположено почти в геометрическом центре внешних изоденс галактики. Форма примыкающей к ней изоденсы, а также строение южной части галактики (рис. 1b и d) указывают, что южное сгущение южной части галактики (рис. 1b и d) указывают, что южное сгущение

ние является ядром галактики, у которой предтюложительный тип SAB b. Северное спущение имеет сложную внутреннюю структуру (рис. 1с). Оно по своей структуре, яркости и положению в Марк 907 может быть или гигантской Н II-юбластью в спиральной галактике, или компонентом вваимодействующей двойной системы. В корректной классификации системы помогут спектральные наблюдения Марк 907.

Как отмечалось, все спектры галактики получены при положении щели спектрографа, проходящей вдоль вытянутости объекта. Во всех спектрах видна сложная структура Марк 907. Своим сильным непрерывным излучением выделяется южное сгущение, которое излучает также в эмиссионных линиях [SII]  $\lambda$  6731/16, He I  $\lambda$  6678, [N II]  $\lambda$  6584/48, Ha, [OI]  $\lambda$  6300, He I  $\lambda$  5876, [OIII]  $\lambda$  5007, 4959, He, He, He, He [NeIII], Ha [NeIII]  $\lambda$  3869 и [OII]  $\lambda$  3727. Линии бальмеровской серии, начиная с  $H_{\gamma}$  и ниже, имеют слабые компоненты в поглощении.

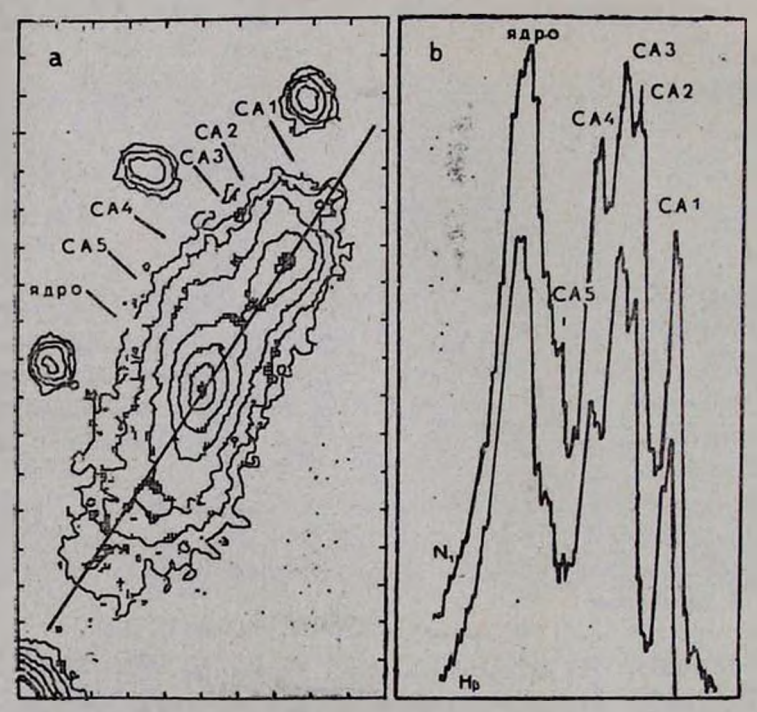


Рис. 2. а) Положения щели спектрографа при наблюдении и отождествлении сгущений в Марк 907. b) Регистрограммы вмиссионных линий Η<sub>β</sub> и [OIII]  $\chi$  5007 перпендикулярно дисперсии. Отмечены положения ядра и пяти сгущений галактики.

В северном направлении от южного сгущения отождествлены спектры пяти отдельных стущений. На рис. 2 а, b, соответственно на картине

изофот Марк 907 и регистрограмме эмиссионных анний Н, и [О III]  $\lambda$  5007, перпендикулярно дисперсии, отмечены положения этих стущений—сверхассоциаций (СА), а также южного сгущения—ядра. СА2 и СА3, расположенные в центральной области северного яркого сгущения, имеют сильные непрерывные спектры. У них как и у СА1, конденсации с сильными эмиссионными линиями и едва заметным непрерывным спектром, отождествлены те же эмиссионные линии, что в у южного сгущения—ядра. В их спектрах зарегистрирована также линия [О III]  $\lambda$  4363. СА4 и СА5, расположенные между северным и южным яркими сгущениями, со своими непрерывными спектрами слабо выявляются в общем непрерывном излучении галактики. Обе они являются источниками эмиссионных линий бальмеровской серии [SII], [NII], [ОІІІ], [ОІІ], [ОІІ]

Все отождествленные эмиссионные линии во всех спектрах Марк 907 фотометрированы. Наблюденные и исправленные за поглощение согласно [7] значения стносительных интенсивностей эмиссионных линий всех пяти СА и южного сгущения—ядра приведены в табл. 2. В последних двух строках таблицы даны значения эквивалентных ширин эмиссионной линии H, и избыток цвета E(B-V). В скобках, во всех случаях, приведено число измерений, использованное для вычисления отпосительных интенсивностей, эквивалентных ширин и избытков цвета.

Значения относительных интенсивностей  $I([O\ III]\ \lambda\ 5007)/I(H_{\rm p})$  и  $I([N\ II]\ \lambda\ 6584)/I(H_{\rm n})$  в спектрах всех образований Марк 907 характерны для HII-сбластей, в которых излучение в линиях обусловлено фотоионизацией коротковолновым излучением горячих О—В-звезд [8]. Для южного сгущения ядра и СА5 температура ионизующих явезд  $(T_*)$  должна быть  $\sim 3.4\cdot 10^4$  К [9], т.е. ионизация газа в них обусловлена преимущественно звездами спектральных типов ВО-О9 [10]. Для всех остальных сгущений в галактичке  $T_*$  должна быть в пределах  $3.6 \div 3.8\cdot 10^4$  К, а тип ионизующих звезд—О9.

Присутствие в спектрах СА1, СА2 и СА3 вмиссионных линий [О III]  $\lambda\lambda$  5007, 4959 и 4363 дает возможность вычислить электронную температуру. Используя данные, приведенные в работе [11], для  $T_{\rm e}$ , соответственно для СА1, СА2 и СА3, получены значения  $1.6\cdot10^4$  K,  $1.5\cdot10^4$  K и  $1.8\cdot10^4$  K. По этим значениям  $T_{\rm e}$  и по отношениям I ([S II]  $\lambda$  6716) / I ([S II]  $\lambda$  6731) (см. табл. 2) значения электронных плотностей ( $n_{\rm e}$ ) в этих СА оценены соответственно равными 60, 70 и 130 см $^{-3}$  [11].

По вышеприведенным значениям влектронных температур и плотностей, по относительным интенсивностям эмиссионных линий (табл. 2), произведен расчет содержания тяжелых элементов в СА1, СА2 и СА3.

ЗНАЧЕНИЯ ОТНОСИТЕЛЬНЫХ ИНТЕНСИВНОСТЕЙ ЭМИССИОННЫХ ЛИНИЙ, ЭКВИВАЛЕНТНЫХ ШИРИН И ИЗБЫТКОВ ЦВЕТА В СГУЩЕНИИ МАРК 907

	Ядро		CA	CA1		CA2	
	$(I_{\lambda}/I_{\mathrm{H}_{\beta}})_{\mathrm{mag}}$	$(I_{\lambda}/I_{\mathrm{H}_{\beta}})_{\mathrm{men}}$	$(I_{\lambda}/I_{\mathrm{Hg}})_{\mathrm{mad}}$	$(I_{\lambda}/I_{\mathrm{H}_{\beta}})_{\mathrm{men.}}$	$(I_{\lambda}/I_{\rm H_{\beta}})_{\rm mac}$ .	$(I_{\lambda}/I_{\mathrm{H}_{\beta}})_{\mathrm{mon}}$	
[SII]\(\lambda 6731	0.84+0.09(4)	0.48+0.07	0.29 (3)	0.22	0.52+0.10(4)	0.36+0.08	
[SII]\\\ 6716	1.11+0.07(4)	0.63+0.08	0.40(3)	0.30	0.72+0.15(4)	0.50+0.12	
ΗοΙλ6678	0.09[3]	0.05	W = 2	- 1	0.10(1)	0.07	
[NII]\\(\lambda\)6584	1.26+0.09(4)	0.74+0.10	0.65(3)	0.49	0.65(3)	0.46+0.07	
H <sub>a</sub>	4.75+0.50(4)	2.80-1-0.42	3.69+0.42(4)	2.80+0.45	3.97+0.38(4)	2.80+0.38	
[NII]\\\ 6548	0.50+0.06(4)	0.30+0.05	0.20(3)	0.15	0.20+0.02(4)	0.14+9.02	
[OI]\\\\\\\\\\\\\\\\\\\\\\\\\\\\\\\\\\\\	0.14+0.03(4)	0.09+0.02	0.12(1)	0.09	0.15(2)	0.11	
ΗοΙλ5876	0.20(3)	0.14	0.12(1)	0.10	0.14(2)	0.11	
[ΟΙΙ]λ5007	3.50+0.28(7)	3.30+0.27	2.68+0.15(7)	2.60+0.15	3.30 +0.09 (8)	3.17+0.09	
[OIII]\\dagger{1}{4959}	1.27+0.09(7)	1.22+0.09	0.96+0.04(7)	0.94+0.04	1.12+0.03 (8)	1.09+0.03	
H <sub>B</sub>	1.00	1.00	1.00	1.00	1.00	1.00	
[OIII]\\d363	-	_	0.039(1)	0.044	0.042 (1)	0.049	
Н	0.27(3)	0.34	0.028+0.04(5)	0.33 + 0.05	0.320.04(5)	0.38+0.05	
H <sub>4</sub>	0.13(2)	0.19	0.09(4)	0.11	0.13 +0.02 (4)	0.15-1-0.03	
Ha.+[NeIII]	0.06(2)	0.10	0.05(3)	0.1.8	0.08 -0 02 (4)	0.11+0.03	
H <sub>s</sub>	0.07(2)	0.12	0 09 (3)	0.12	0 07 (3)	0.10	
[NeIII]\\\3869	0.17+0.02(4)	0.290.05	0.07()	0.09	0.09 + 11 2 (3)	0.13 + 0.03	
[OII]\\\3727	2.19+0.78(4)	3.90-1-0.71	1,68 + 0 28 (4)	1.38+0.43	1.55+0.23(1)	2.33-1-0.43	
W <sub>H3</sub> (A)	19.8+1.5(6)		127 (*)		161+11(:)		
E(B-V)	0.48+0.10		0.24+0.11		0.31-0.09		

<sup>•</sup> Ошибии оценены при предположении  $\sigma(H_n \mid H_n) \sim 15\%$ 

C	A3	CA
$(I_{\lambda}/I_{\rm H_{\rm p}})_{\rm mas}$ .	$(I_{\lambda}/I_{H_{\beta}})_{\mathtt{non}}$ .	(I <sub>2</sub> /I <sub>H4</sub> ) <sub>Ha6</sub> .
0.62 ÷ 0.07 (4)	0.41+0.05	0.57(3)
0.77+0.06(4)	0.50+0.06	0.70(3)
0.10(3)	0.07	0.06(2)
0.96+0.14(4)	0.64+0.11	0.86(3)
4.17+0.36(4)	2.80+0.34	4.13+0.40(4)
0.37+0.11(4)	0.25+0.08	0.28(3)
0.11(3)	0.08	0.05(1)
0.13(2)	0.10	0.17(1)
3.20+0.30(7)	3.06+0.29	3.60+0.52(7)
1.12+0.09(7)	1.09+0.09	1.27+0.10(7)
1.00	1.00	1.00
0.057(2)	0.068	_
0.35+0.04(5)	0.42+0.05	0.37(3)
0.17+0.03(4)	0.23+0.04	0.12(3)
0.12+0.03(4)	0.17+0.04	0.16(3)
0.18(5)	0,26	0.13(3)
0.16+0.03(4)	0.24+0.05	0.17(3)
1.68+0.34(4)	2.68+0.61	0.71 (3)
74+11 (6)		52 + 7 (6)
0.35+0.08		0.34+0.09

•	CA5		
(I, /I <sub>H3</sub> ) <sub>sen.</sub>	$(I_{\lambda}/I_{\rm H})_{\rm Had}$ .	(1./1 <sub>Hg</sub> ) <sub>nen</sub> .	
0.38	0.47(3)	0.37	
0.46	1.49(3)	0.53	
0.04	_	_	
0.58	1.38(3)	0.56	
2.80+0.38	6.92(3)	2.81+0.60*	
0.19	. 0.44(2)	0.18	
0.04	0.17(1)	0.08	
0.13	-		
3.45+0.50	2.98+0.29(7)	2.6°+0.27	
1.23+0.10	0.95+0.05(7)	0.89+0.05	
1.00	1.00	1.00	
_	_	0000	
0.44	0.33(1)	0.50	
0.16		_	
0.22	-	_	
0.19	-		
0.25	0.14(1)	0.34	
2.69	1.91(3)	5.50	
	8.8+1.1(6)		
	0.83		

86v.1

### СОДЕРЖАНИЕ ТЯЖЕЛЫХ ЭЛЕМЕНТОВ В СА1, СА2 И СА3 МАРК 907

	He	Y	0	N	S	Ne
CAI	10.94	0.258	7.44	6.99	7.01	6.83
CA2	10.98	0.275	7.62	6.90	7.05	7.07
CA3	19.96	0.267	7.48	6.91	6.93	7.20
BCDG	10.91	0.245	8.02	6.59	7.28	7.39
HII	11.07	0.320	8.60	7.59	7.26	8.10

Расчеты основаны на данных работы [11]. При вычислении содержания серы использован метод работы [12]. Содержание гелия в объектах вычислено согласно [13, 14]. При вычислениях рекомбинационных коэффициентся для гелия использованы данные, приведенные в работе [15], для чисто радиативных процессов.

Полученные значения логарифмов содержания тяжелых элементов относительно к водороду для СА1, СА2 и СА3 приведены в табл. 3. В табл. 3 для сравнения даны содержания тяжелых элементов для изолированных Н ІІ-областей (ВСОС) и Н ІІ-областей в спиральных галактиках (Н ІІ) [16—19]. Отметим, что количество атомов водорода принято равным 1012.

Для трех конденсаций, южного сгущения—ядра, СА4 и СА5, в Марк 907 возможность непосредственного определения влектронной температуры отсутствует. Содержание кислорода и азота в них определено согласно вмпирическим зависимостям, приведенными в работе [20]. Для южного сгущения—ядра использованы уравнения, выведенные для ядерных Н II-областей. Расположение СА5 в объекте указывает, что она с большой вероятностью является Н II-областью в спиральной галактике. Содержание жислорода и азота в ней определено согласно уравнениям, выведенным для Н II-областей в ранних спиральных галактиках [20]. По положению СА4 можно отнести как и той же спиральной галактике, так и к комплексу сгущений (СА1—СА3. Для нее использованы как уравнения, выведенные для НІІ-областей в ранних спиралях, так и уравнения, описывающие ВСДС. Полученные данные приведены в таба. 4. В таба. 4 для сравнения приведены содержания кислорода и авота для ядер нормальных спиральных галактик [20]. BCDG и Н II-областей в ранних спиральных галактиках [20], а также для Солнца [21, 22]. /

На основе поверхностной фотометрии Марк 907 оценены В-величины сгущений талактики, исследованных спектрофотометрически; оли

## СОДЕРЖАНИЕ КИСЛОРОДА И АЗОТА В ТРЕХ СГУЩЕНИЯХ МАРК 907

Объект оодержание	Южное сгу- щение-ядро	CA5	CA4	Ядра спиралей	ни	ВС	Соляцо
12+lg O/H	8.74	8.30	8.40(7.97)	8.85±0.12	8.80±0.25	8.02±0.13	8.92
12+1g N/H	7.65	7.51	7.53(7.44)	7.84±0.41	7.72±0.20	6.63±0,28	7.99
lg N/O	-1.09	-0.79	-0.87(-0.53)	-1.02±0.43	$-1.08 \pm 0.32$	-1. <b>39±0</b> .31	-0.93

Таблица 5

### НЕКОТОРЫЕ ФИЗИЧЕСКИЕ ХАРАКТЕРИСТИКИ СГУЩЕНИЙ МАРК 907

	Южное сгущение-ядро	CAI	CA2	CA3	CA4	CA5
$m_{ m B}$	16 2	197.6	18 2	18 <sup>m</sup> 2	18 <sup>m</sup> 6	1873
FH (spr cm - 2 c-1	(2.4±0.7) 10 <sup>-14</sup>	6.7.10-15	(1.9±0.6) 10 <sup>-14</sup>	(1.4±0.4) 10 <sup>-14</sup>	$(6.8\pm2.1)\ 10^{-15}$	(1.5±0.5) 10 <sup>-15</sup>
L <sub>H3</sub> (spr c <sup>-1</sup> )	(4.0±1.8) 10 <sup>39</sup>	4.9.1038	(1.8±3.7) 10 <sup>30</sup>	(1.5±0.6) 1030	(7.1士3.1) 1034	(8.5±5.2) 10 <sup>28</sup>
V <sub>эфф</sub> (сы <sup>8</sup> )	(1.7±0.8) 10 <sup>80</sup>	1.7.10%	(4.4±1.7) 10°0	(1.3±0.5) 1060	(3.7±1.6) 1050	(1.7±1.1) 1001
May (Mo)	(1.4±0.7) 105	8.5.104	(2.6±1.0) 10 <sup>5</sup>	(1.4±0.5) 105	(3.7士1.6) 104	(2.8±1.8) 105
а	$(6.3\pm3.0)\ 10^{-3}$	5.1.10-2	(1.3±0.5) 10 <sup>-1</sup>	(3.9±1.5) 10 <sup>-2</sup>	(1.1±0.5) 10 <sup>-2</sup>	(5.;±3.3) 10 <sup>-1</sup>
$N_{\rm LyC}$ (e <sup>-1</sup> )	(7.6士3.4) 1651	9.4-1050	(3.4±1.3) 1051	(2.9±1.2) 1031	(1.4±0.6) 1081	(1.6±1.1) 1051
N. (O9)	3600±1600	440	1600±610	137 ±570	660±280	800±520
T30 (M <sub>⊙·rog</sub> -1)	0.079±0.036	0.010	0.036±0.014	0.030±0.012	0.014±0.006	0.017±0.010

приведены в таба. 5. Используя эти оценки, а также приведенные в таба. 2 значения эквивалентных ширин линий  $H_3$ , рассчитаны набаюдаемые абсолютные потоки  $(F_{H_3})$  и ошибки их определения, и на их основе вычислены: исправленные за поглощение абсолютные светимости в линии  $H_3$  ( $L_{H_3}$ ); эффективные объемы  $(V_{yeq})$  и массы излучаемого газа ( $\mathfrak{M}_{H_3}$ ), а также факторы скважности в них ( $\alpha$ ); количество лаймановских квантов ( $N_{LyC}$ ) по [23] и количество звезд типа О9, способных излучать такое количество лаймановских квантов ( $N_{\bullet}$ ) [10] Значения этих физических характеристик, для всех сгущений Марк 907, приведены в таба. 5. В таба. 5 приведены также оценки темпа звездообразования (все звезды с массами от 0.1 до 100  $\mathfrak{M}_{\odot}$ ) в исследованных образованиях согласно [24].

4. Обсуждение. Морфологическое и спектрофотометрическое исследования пекулярной галактики Марк 907 приводят к следующим выводам.

Отождествленное в галактиже южное сгущение является ядром спиральной, предположительно SBb типа, галактики. В пользу этого говорят следующие факты:

- сгущение расположено почти в геометрическом центре галактики;
- со сгущением связаны, по форме напоминающие опиральные рукава галактики, детали;
- по физическим параметрам оно наиболее мощное образование в галактике;
- содержание кислорода и азота в нем характерно для ядер спиральных галактик.

В галактике выделяется северный комплекс сгущений СА1, СА2 и СА3, который не вписывается в общую структуру спиральной галактики с южном сгущением—ядром. Содержание кислорода в среднем в 17 раз и азота в 5 раз в них ниже, чем в ядре Марк 907, и соответственно почти в 5 раз ниже, чем в двух других сгущениях галактики. По содержанию тяжелых влементов и голубых звезд [25] они более похожи на голубые караиковые галактики.

Таким образом, комплекс H II-областей СА1, СА2 и СА3, вероятно, является отдельной взаимодействующей с SBb спиралью, голубой талактикой. Хотя отметим, что принадлежность комплекса к спиральной галактике, как ее гигантской Н II-области, в рамках настоящего исследования полностью исключить не представляется возможным.

Стущения СА4 и СА5, по всем своим особенностям, являются Н IIобластями спиральной галактики.

Бюраканская астрофизическая обсерватория

Специальная астрофизическая обсерватория АН СССР

#### MARKARIAN 907 AN INTERACTING SYSTEM OF GALAXIES

A. R. PETROSIAN, A. N. BURENKOV, K. A. SAHAKIAN

The results of detailed morphological and spectrophotometrical investigation of the galaxy Markarian 907 are presented. Observational data has been carried out with 6-m telescope of the Special Astrophysical Observatory and 2.6 m telescope of Byurakan Observatory. By means of intensity ratio of emission lines the abundances of heavy elements, the masses and filling factors of the emitting gas, the number of the O9 type stars and star formation rates for six condensations in galaxy are estimated. It is shown that Markarian 907 is an interacting double system. Southern component of the pair is a SBb type galaxy, with powerful nucleus. Northern component is a blue dwarf galaxy containing three condensations. In spiral galaxy two Hil regions are discovered.

#### **ЛИТЕРАТУРА**

- 1. Б. Е. Маркарян, В. А. Липовецкий, Дж. А. Степанян, Астрофизика, 13, 225, 1977.
- 2. Б. Е. Маркарян. Л. К. Ерастова, В. А. Липовецкий, Дж. А Степанян, А. И. Шаповалова, Астрафизика, 22, 215, 1985.
- 3. V. A. Balzano, Astrophys. J., 268, 602, 1983.
- 4. В. А. Санамян, Р. А. Кандалян, Г. А. Оганян, Астрофизика, 19, 429, 1983.
- 5. G. J. Lindsale, G. Helou, J. C. Good, W. Rice, Catalogued Galaxies and Quasars Observed in IRAS Survey, Pasadena, JPL, 1985.
- 6. R. P. S. Stone, Astrophys. J., 218, 767, 1977.
- 7. J. S. Mathts, Astrophys. J., 159, 263, 1970.
- 8. J. A. Baldwin, M. M. Phillips, R. Terlevich, Publ. Astron. Soc. Pacif., 93, 5 1981.
- 9. J. B. Kaler, Astrophys. J., 210, 843, 1976.
- P. G. Mezger, L. F. Smith, E. Churchwell, Astron. and Astrophys., 32, 269, 1974.
- 11. J. Zamorano, M. Rego, Astron. and Astrophys. Suppl. Ser., 62, 173, 1985.
- 12. G. Stasinska, Astron. and Astrophys., 66, 257, 1978.
- 13. M. Peimbert, S. Torres-Peimbert, Astrophys. J, 168, 413, 1971.

- 14. G. Stasinka, Astron. and Astrophys., 84, 320, 1980.
- 15. M. J. Seaton, Adv. Atomic and Molecular Phys., 4, 331, 1968
- 16. D. Kunth, W. L. W. Sargent, Astrophys. J., 273, 81, 1983.
- 17. H. B. French, Astrophys. J., 240, 41, 1980.
- 18. J. B. Kaler, Astrophys. J., 244, 54, 1981.
- 19. S. A. Hawley, Astrophys J., 224, 417, 1978.
- 20. А. Р. Петросян, Сообщ. Бюракан. обсерв., 61, 15, 1989.
- 21. D. L. Lambert, Mon. Notic. Roy. Astron. Soc., 182, 249, 1978.
- 22. D. L. Lambert, Mon. Notic. Roy. Astron. Soc., 183, 79, 1978.
- 23. S. R. Pottash, Vistas Astron., 6, 149, 1965.
- 24. D. A. Hunter, J. S. Gallagher III, Publ. Astron. Soc. Pacif., 98, 5, 1986
- 25. J. Bergeron, Astrophys. J., 211, 62, 1977.